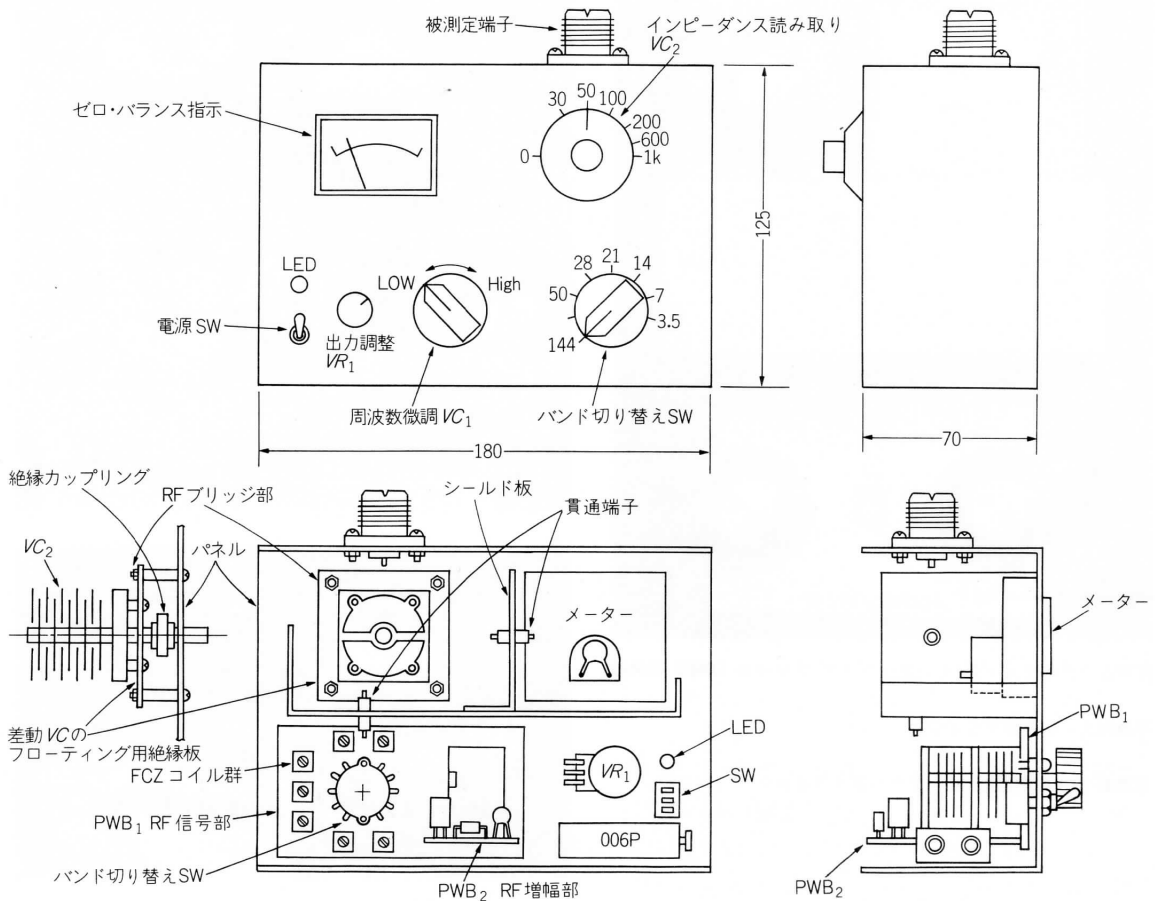


第4-7図 RF信号源内蔵アンテナ・インピーダンス・メーターの構造



ればなりません。

ブリッジ部は、他の部分との干渉を避けるために、シールド板を立て、貫通端子を通して接続するのです。

信号部とRF増幅部は、それぞれプリント基板でコンパクトにまとめました。

なお、較正要領については、第4-2表に準じます。

2-4-3 ダイナミック・インピーダンス・ブリッジ

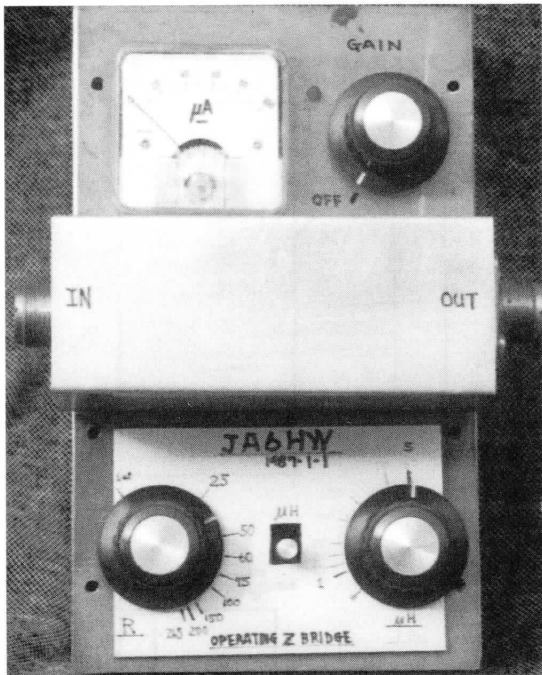
(a) 要求される性能

ダイナミックなインピーダンスを測定する operating impedance bridge^{*5}(以下 OIB と略す) は、従来のインピーダンス・ブリッジが、ディップメーター や標準信号発生器、あるいは高調波成分を多く含んだノイズ発生器などを信号源としているのに比べ、SWR メーターのように、実際に使用される送信機の

電波を直接使っているところが異なります。

すなわち、従来型では微弱な信号を使っているため、ブリッジのバランス検出電流も微小でした。検出電流が少ないために、検波に使うダイオードの特性上、下側の非直線部分で動作することになり、電流がゼロに近い領域では、検出能力が鈍い欠点を持っているので

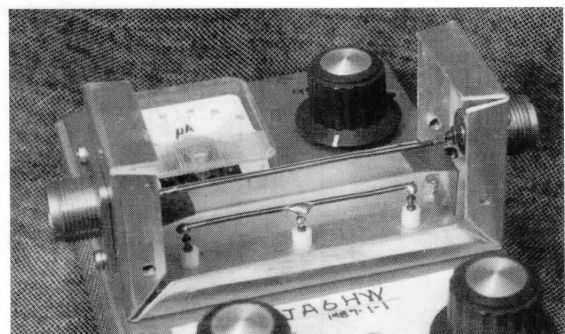
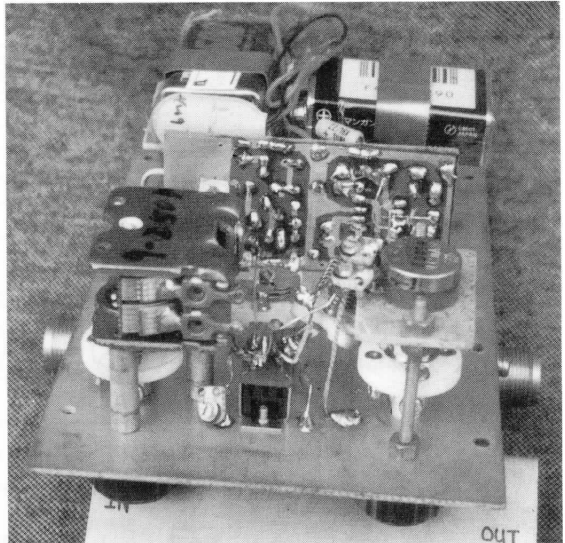
* 5 Delta Electronics INC 社の登録商標です



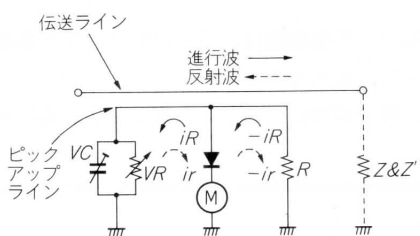
写真上：ダイナミック・インピーダンス・ブリッジ（OIB）の外観

写真右上：OIB のブリッジ部

写真右：OIB の伝送、ピックアップ・ライン



第4-8図 ブリッジの動作原理



- 整合したインピーダンス Z の時、検出回路の電流が $|ir| = -|iR|$ と、バランスすると、 M には、電流が流れない。
- 非整合インピーダンス Z' が接続されると、検出回路の電流に $|ir| \neq -|iR|$ とアンバランス成分が誘起され、 M が振れてしまう。

す。

さらに従来型では、アンテナの調整時にインピーダンスを測定しますが、実際にアンテナへ電力を送り込んだ状態ではインピーダンスの変化^{*6}が見えません。つまり、静的なインピーダンスはわかっても、動的なインピーダンスはわからないという欠点を持っているのです。

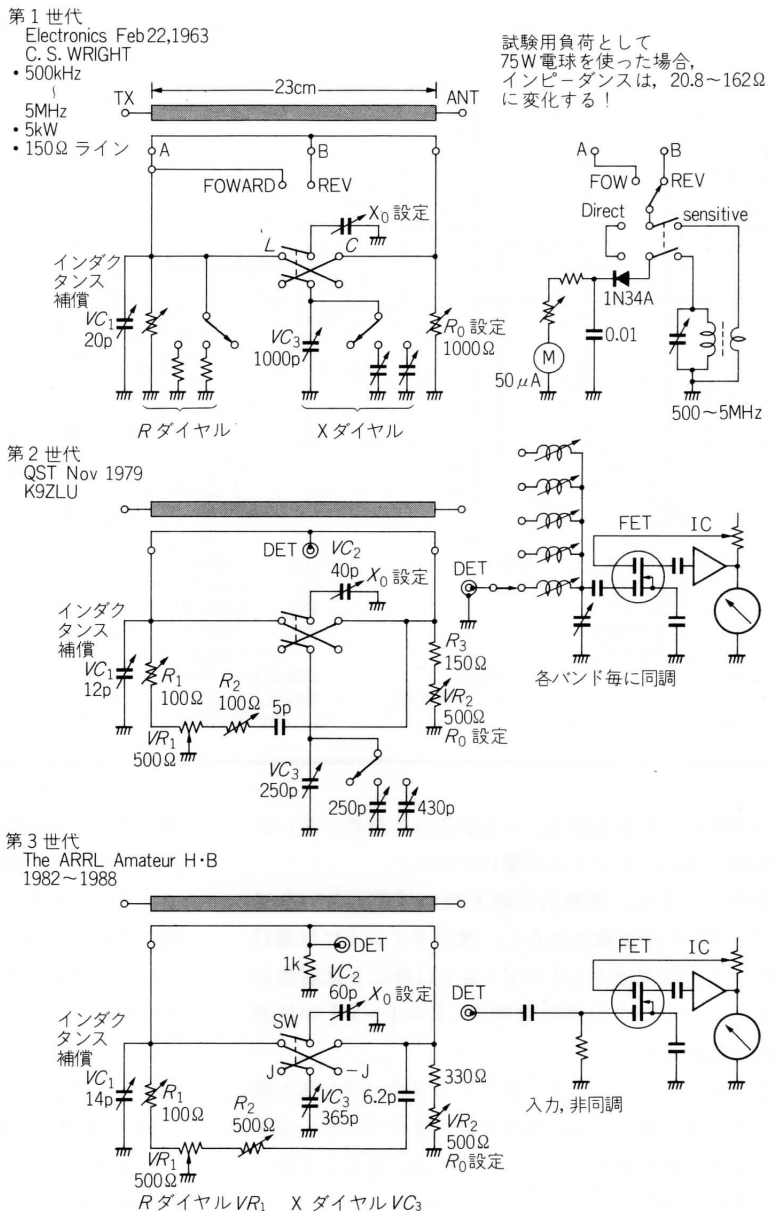
このほか、静的な測定においては測定用信号レベルが微弱であるため、ローカルの強力な放送局や、接近するアマチュア局からの誘起電圧による誤差も避けられません。

いわば、測定時の S/N が悪いのです。

OIB はこれらの欠点を改良した測定器で、アマチュア向けにアレンジした^{*7}、ダイナミックなインピーダンス・ブリッジです。

* 6 辐射器に接近したエレメントの影響や負荷の非直線性のため、動的インピーダンスは変化する

* 7 QST 1979年11月号 p.11 "Building an Operating Impedance Bridge" K 9 ZLU



第4-9図

第1世代から第3世代に至る
OIBの変遷

測定レンジは、10 MHzにおいて $\pm j$ が $0 \sim 350 \Omega$ 。
 R が $0 \sim 300 \Omega$ 、使用可能な周波数帯は $1 \sim 54$ MHz
 ですが、使用部品の高周波特性を選択したり、ブリッジ部をコンパクトにすることによって、144 MHzまでのがすことができます。

OIBは極めて少ない挿入損失であるため、SWRメーターのように常時、伝送ラインに組み込んで使って

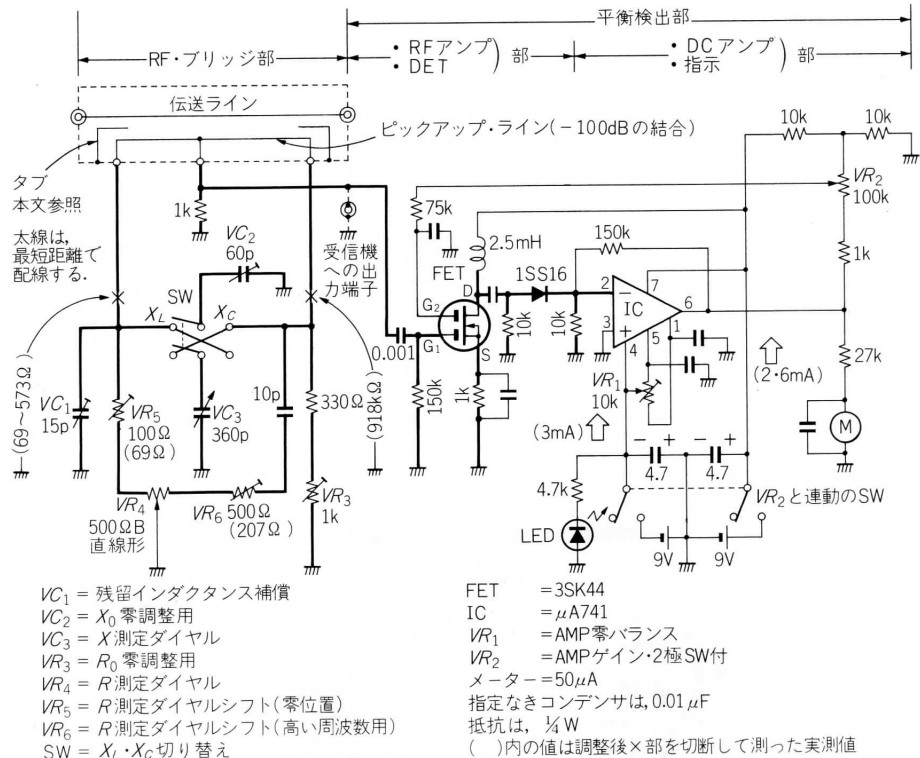
もよいといわれています。

(b) 原理

第4-8図をご覧ください。

これはブリッジの動作原理図です。

いま、負荷ポートに「Z」のインピーダンスが接続され、整合がとれていれば、メーターMには等量で、



第4-10図
「第3世代」を基本に
試作した回路

かつ方向が異なる電流 i_R , $-i_R$ が流れるため、互いに打ち消し合い、メーターは振れません。

負荷ポートに、非整合な値を持つ「Z'」というインピーダンスが接続されると、検出ライン上には進行波による誘起電流 $|i_R| = |-i_r|$ 以外にも反射波によるアンバランスな誘起電流 $|i_r| = |-i_r|$ が反対方向に流れます。

したがって、このままではブリッジのバランスが崩れ、メーターMには電流が流れ針が振れてしまいます。

そこで、あらかじめブリッジの2辺に挿入してあった、VRとVCとでバランスをとり直すのです。

VR と *VC* との位置が較正されていれば、バランスがとれた状態における *VR* の位置で抵抗分が、そして *VC* の位置でリアクタンス分が読み取れる訳です。

(c) 実用回路

実は、OIB が発表されたのは 1963 年のことと、プロの放送局用の実験例が出て、16 年後の 1979 年に QST 誌上にアマチュア向きにアレンジされたものが

紹介され、その後3年から11年の間、ARRL-HBに改良された実用回路が掲載されていました。いわば第1世代から進化し、第3世代に至っている訳で、その変遷を第4-9図に示します。

回路に興味がある方は、作者の工夫が読みとれるはずです。

さて、ここに紹介するのは、第3の回路を基本的に踏襲した試作品であります。

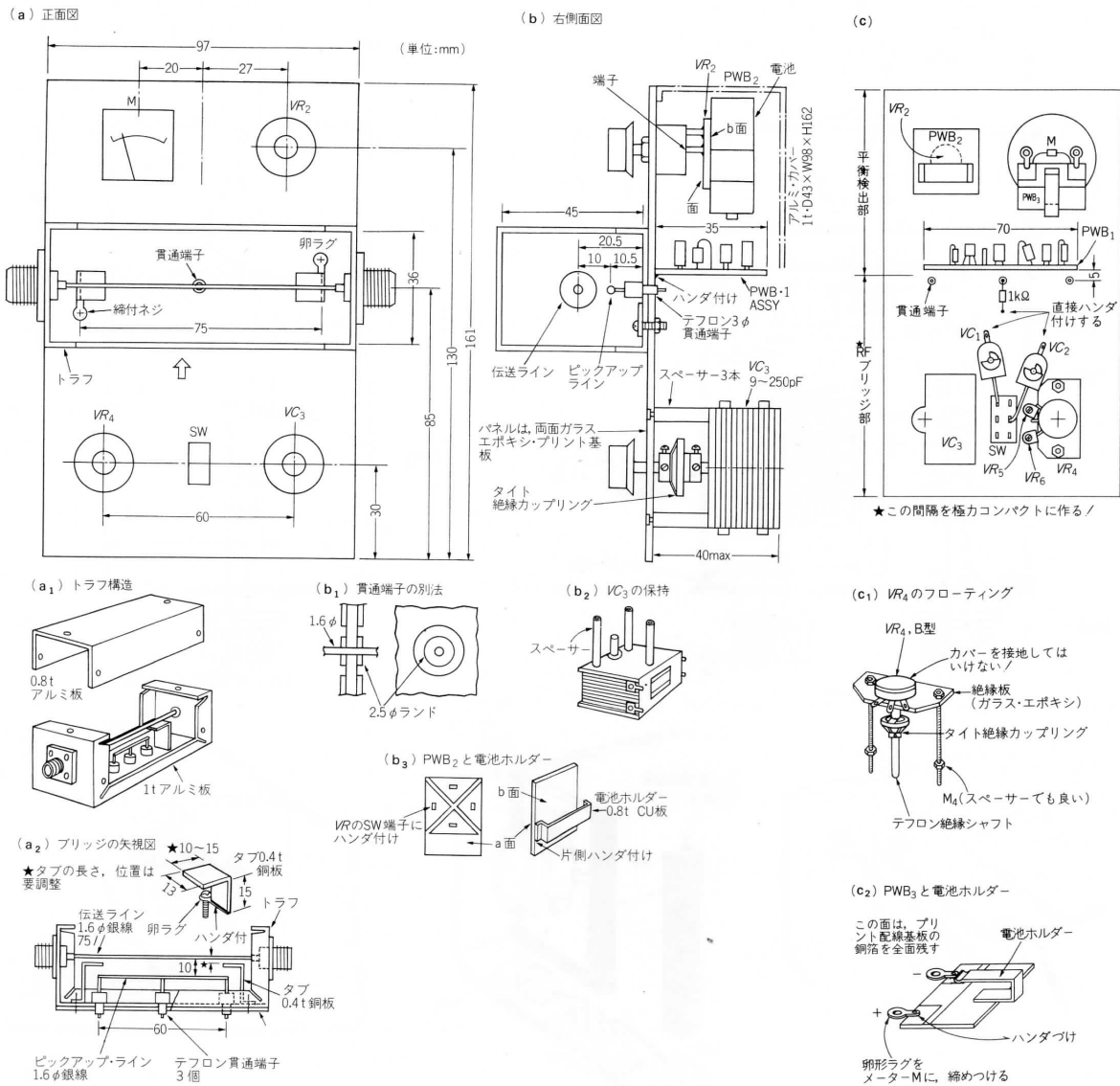
第4-10図をご覧ください。

伝送ラインは方形同軸ラインで、それに-100 dBと極めて粗に結合したピックアップ・ラインが平行に設けられ、ピックアップ・ラインの両端付近には、ラインの入出力ストレーによるアンバランスを補正する微小なコンデンサーとして「タブ」が設けられています。

ピックアップ・ラインは、2分されて、ブリッジの2辺を構成しており、中央から $1\text{ k}\Omega$ の負荷抵抗と並列に平衡検出部への出力が出されています。

ブリッジの他の 2 辺には、抵抗分測定用の VR_4 とリアクタンス分測定用の VC_2 がありますが、 VC_1 を

第4-11図 HF帯用OIBの1号機の構造



スイッチで入れ替えることによって、インダクティブか、キャパシティブであるかを判別するのです。

実用回路では、残留インダクタンスを補償するための VC₁ や X₀, R₀, ゼロ調整用の VC₂, VR₃, さらに R ダイヤル位置のシフト用 VR₅, VR₆ などが追加されています。

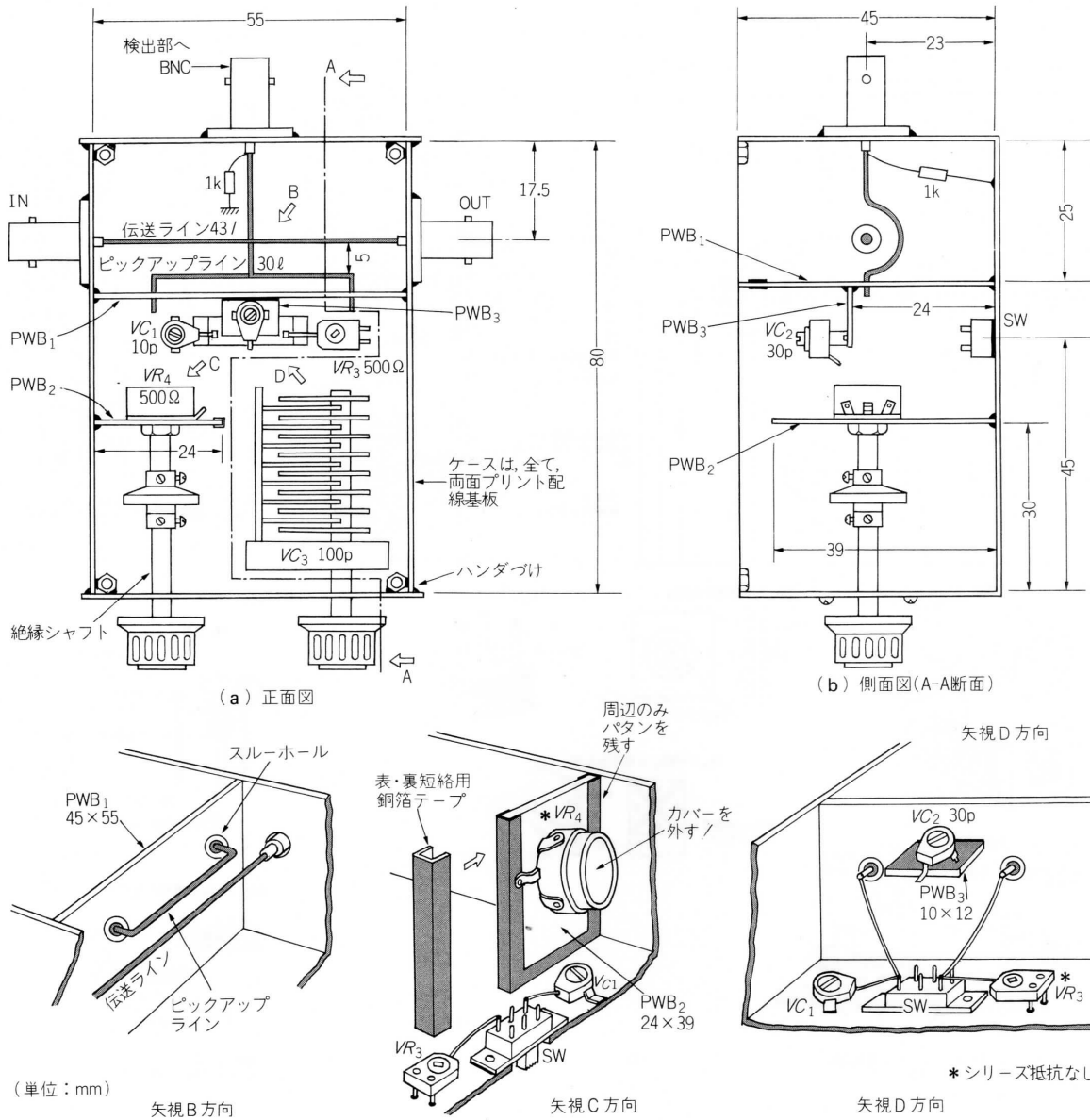
さて、平衡検出部は、微小な検出電圧を FET で高周波増幅した後、ダイオードで検波し、オペアンプで

增幅しています。

この部分は、オリジナルでは FET の入力側に測定バンドごとに同調回路を設けていましたが、改良されたものでは省略されています。

平衡検出部の理想的なモノは、“受信機”であり、原典には検出電圧の入力部に「外部測定端子」を並列に設け、受信機を検出器として使えるようにしてあります。

第4-12図 VHF帯用OIBの2号機の構造



(d) 製作例

OIBを試作するに際し、まず第3世代の回路と構造をほぼ忠実に再現した1号機を作り、その後、改良、省略を行い、2号機として、セパレート・タイプのものを試作してみました。

前者は、RFブリッジ部と平衡検出部とが一体となつたもので、1.9~54MHzをカバーします。

後者は、それらがセパレートになったもので、RFブリッジ部を一層、対称的にかつ、短く配置したもので、144MHz帯で使用できます。

• HF帯用1号機

1号機の工作については、第4-11図をご覧ください。

伝送ラインとピックアップ・ラインを収納する部分

は、(a₁) のようにトラフ^{*8}構造とし、アルミ板を使っています。パネルには、部品の接地を直接したいため、ガラス・エポキシ・プリント配線基板の両面ものを使いました。

RF ブリッジ部分は、なるべくコンパクトに作り、配置も対称に、配線は最短距離で、かつストレー・キャパシティが少なくなるよう工夫するのが成功の秘訣です。

図には、主要な方法のみを示してありますので、あとは皆さんが工夫なさってください。

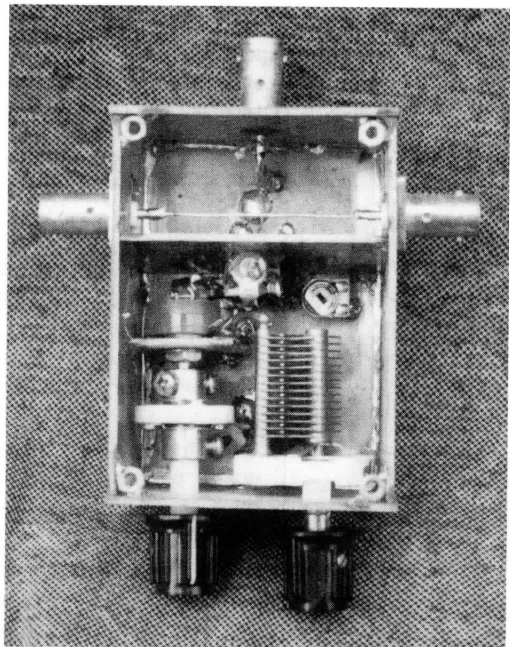
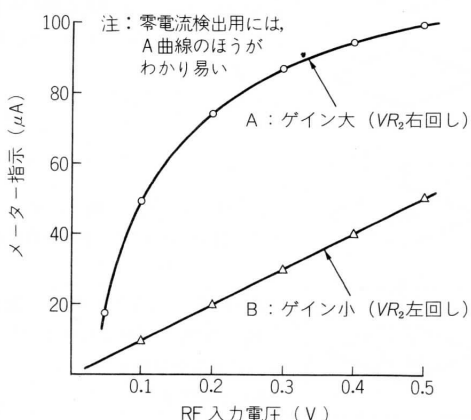
伝送とピックアップ・ライン (a₂) には、少し、ぜいたくをして、手持ちの $1.6\ \phi$ 銀線を使ってみましたが、もちろん銅線でもかまいません。貫通端子には、 $3\ \phi$ のテフロン材を使いましたが、両面基板をスルーホールにする別法 (b₁) もあります。

VC_3 の保持 (b₂) には、スペーサー 3 本を使い高くしてありますが、本来の目的は、ブリッジの一辺となる VR_4 と、レベルを合わせるためですから、絶縁カップリングは不要で、普通の“つなぎシャフト”でも OK です。

VR_4 はブリッジの一辺ですから、ボディ・イフェクトやストレー・キャパシティから逃れるために、絶縁シャフトを介して取り付けます。

同時に、抵抗体とパネルとのストレー・キャパシティを避けるために、(c₁) のように絶縁板でフローティング^{*9}させています。 VR_4 のカバーが金属の場合には、接地してはいけません。

第 4-13 図 OIB の入出力特性



VHF 带用 OIB 2 号機

アンプ部にオペアンプを使うので、9 V の電池 2 個が必要ですから、簡単なホルダー PWB₂, PWB₃を (b₃), (c₂) のように作り、 VR_2 と M の背中に背負わせてしまうと、スペース・ファクターがよくなります。

平衡検出部の FET とオペアンプを中心とした回路は、PWB₁ のように組み付けますが、パターンと工作については、皆さんが工夫されてください。

• VHF 帯用 2 号機

2 号機の工作については、第 4-12 図をご覧ください。

1 号機との違いは、先に述べたように、RF ブリッジ部と平衡検出部をセパレートにし、かつブリッジ部の配線が最短距離となるようなレイアウトにしてあるところです。

このため、接地がやりやすいように、ケースや仕切りは、両面プリント配線基板で作りました。

伝送、ピックアップ部は、矢視 B に示すように、PWB₁ をスルーホールしてあります。

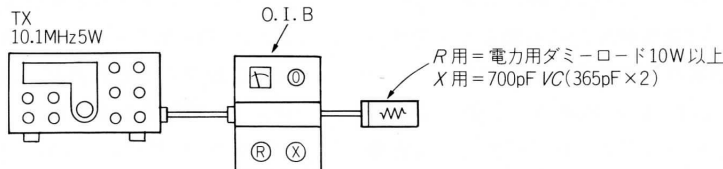
* 8 Trough * 9 floating = 浮いている

| | | 要 領 | 調整ステップ | 要 領 |
|--|--|---|--|---|
| 1. AMP 部 零 整 定 | | 1. VR_2 を中央にセット 2. VR_1 で、メーターの零バランスをとる。 3. VR_2 でゲインを上げて、 VR_1 を再調整する。 | 4. タブ による パ ラ ン ス 調 整 | 3.2個のタブによって、メーターがさらに下がるよう調整する。 (VR_4 と2個のタブのくり返し。) 4.タブの位置は、双方とも対称的でないといけない。 5.200Ωダミーのリード・インダクタ ンスも含めて、零バランスしていることになる。 6.I/Oポートを入れかえても、零バラン スが変わらぬことも確認する。 |
| 2. 測 定 準 備 | | 1. OUTPUTポートに50Ωダミーを接続し、INPUTポートに、10MHz帯で、5W入力ができるよう接続準備。 2.X検出用、 VC_3 を、20pF付近にセット。(Xダイヤル目盛で、“0”に相当する位置となる。) 3. X_0 設定用 VC_2 と、インダクタス補償用 VC_1 をMAXにセット。 4.R測定とシフト用 $VR_{4.5.6}$ を、夫々、中央付近にセット。(Rダイヤル目盛の50Ω以下に相当する。) 5.ゲイン VR_2 はMAXにセット。 | 5. レジ ス タ ン ス 零 調 VR 3 の 調 整 | 1.Rダイヤル用 VR_4 を、目盛の零付近にセット。 2.Rダイヤル・シフト用 VR_5 を中心付近にセット。 3.OUTPUTポートを、短絡。 4.R零調用 VR_3 を回し、メーターが零を指すよう調整。 5. VR_3 ～ VR_4 と交互に調整し VR_4 が目盛の“零”付近でメーターの“零”を指すよう、 VR_3 を固定。 |
| 3. イ ン ダ ク タ ン ス 補 償 VC_1 の 調 整 | | 1. 10.1MHz 5Wを入力する。 2. メーターが振り切れる時は、 VR_2 を絞る。 3. VC_1 を調整し、メーターを零に近づけ 4. VC_1 ～ VC_2 と交互に調整し、メーターを零に近づける。 5. VR_2 のゲインを上げて、④のくり返えし。 6. SWを X_L ～ X_C に切り替えても“零”が変わらぬことを確認する。 | 6. R ダ イ ヤ ル 200Ω 調 整 | 1. OUTPUTポートに200Ωを接続。 2.Rダイヤル VR_4 を、200Ωの位置にセット。 3.ダイヤル・シフト用 VR_5 でメーターが零を指すよう調整。 |
| 4. タ ブ によ る パ ラ ン ス 調 整 | | 1. 50Ωダミーを200Ωダミーに変更。 2.Rダイヤル(VR_4)を、200Ωの位置付近に動かすと、(VR_4 MAXの80%位置) メーターが下がるので、ここで止める。 | 7. 微 調 整 | 1.Rバランスの調整後、再度、Xバランスを微調整する。 2.シフト用 VR_6 は、高い周波数帯での、Rダイヤル零バランス微調整用である。 3.R・Xバランスに、タブの影響が大きいので、ここまでくり返しが、数回必要。 その後、タブは動かさない。 |
| | | | 8. R ダ イ ヤ ル 較 正 | 1. OUTPUTポートに25Ω飛びにダミーロードを接続し、Rダイヤルを目盛る。 |
| | | | 9. X ダ イ ヤ ル 較 正 | 1. OUTPUTポートに150Ωダミーと直列に VC を接続し、SWは X_C のポジションで、 VC_3 を目盛る。 (第4-14図b参照) |

第4-3表 OIB 調正のステップ

第4-14図
OIBの較正方法

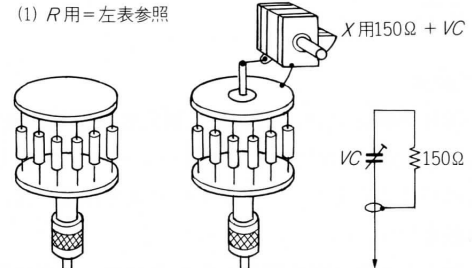
(a) 較正回路



(1) R 用 = 左表参照

(b) 較正用インピーダンス

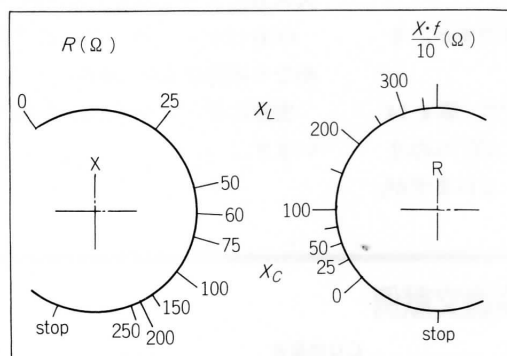
| レジスタンス(R) 目盛用 | リアクタンス(X) 目盛用 | キャパシタンス VC (pF) |
|----------------------|----------------------|----------------------|
| ダミーロード R (Ω) | リアクタンス X (Ω) | |
| 25 | 25 | 637 |
| 50 | 50 | 318 |
| 75 | 75 | 212 |
| 100 | 100 | 159 |
| 150 | 150 | 106 |
| 200 | 200 | 79.6 |
| 250 | 250 | 63.7 |
| 300 | 300 | 53.1 |



$$(2) X = \frac{10^6}{2\pi \cdot f \cdot C} \quad X = \Omega \quad f = \text{MHz} \cdots 10.1 \text{MHz} \quad C = \text{pF}$$

- (3) C は、キャパシタンス・メーターであらかじめセットしておく
- (4) VC への、リード・インダクタンスは、誤差分となる
- (5) SW は X_C の位置で較正する
- (6) $X_C = X_L$ と仮定しているが、 SW の X_L ポジションで、念のために、 VC の替りにインダクタンスを挿入し、3点のみチェックする

(c) 目盛例と、読みかた



| インダクタンス L (μH) | リアクタンス X (Ω) |
|---------------------|-------------------|
| 1 | 62.8 |
| 2 | 125 |
| 4 | 250 |

- (1) レジスタンス(R)ダイヤルは、直続する
- (2) リアクタンス(X)ダイヤルは、周波数に依存するため、10MHz帯以外では目盛の値(X)に係数を乗じる

$$\text{リアクタンス} = X \cdot \frac{f}{10.1} \quad f = \text{MHz} \quad X = \Omega$$

例 28MHzで、 SW が X_C のポジションで、50 を示せば、キャパシティブなリアクタンスが

$$50 \cdot \frac{28}{10.1} \approx 139 \Omega \text{ ある。}$$

VR_4 は、矢視Cのように周辺部のみに銅箔を残したPWB₂を取り付け、さらにカバーも外してしまい、極力ストレー・キャパシティから逃れるように考えてみました。

バランス用の VC_1 , VR_3 および VC_2 は、矢視Dのように、プリント基板を使った立体配置とし配線の最短化を狙っています。

VR_3 , VR_4 にも、*印のようにシリーズ抵抗を省略し、配線の最短化を狙いました。このため、目盛の位

置は若干、見にくくなります。

平衡検出部は、第4-10図の平衡検出部を参照してください。ゼロ電流の検出ができればよいので、リニアリティはあまり問題となりません。

むしろ、ゼロ電流付近でメーターの振れがクリチカルなほうがよい訳です。

第4-13図に本器の入出力特性を示しました。

ゲイン VR_2 の位置によっては、Aのような飽和曲線になったり、Bのように直線になったりします。

OIB では、A 曲線になるように VR_2 をセットして使います。

余談ですが、A 曲線はほぼ対数曲線に近似していますので、このアンプは電界強度計にも使えそうです。

B 直線は、高周波電圧計に使うと FB です。

なお、平衡検出部は、私の実験パートナーである JA 6 AUI の作品ですが、プリント・パターンは省略します。

(e) 較正

OIB の較正には、たいした測定器はいりませんが、10 W の RF 電力に耐えるダミーロードを用意しなければなりませんし、リアクタンス分を作るには、工夫が必要です。

較正のステップを要約したものを第 4-3 表に示し、較正回路と較正用インピーダンスを第 4-14 図に示しますので、同時に見てください。

調整、較正のステップは、大別すると 9 ステップに分かれます。

実際にやってみて気づいた点は「RF ブリッジ」ですから、頑丈に作らないとゼロ・バランスをとるのがむずかしいと、今さらながら実感しました。

レジスタンス目盛の較正は、比較的簡単ですが、リアクタンス目盛の較正は面倒です。

原典には詳しく述べられていませんので、第 4-14 図(b)の要領でやってみました。この場合、 VC へのリード・インダクタンスは誤差分となってしまいますが、

やむを得ません。

基準リアクタンスとして、インダクタンスを使う方法とキャパシタンスを使う方法がありますが、後者のほうが VC をキャパシタンス・メーターであらかじめ任意に設定できるために、後者を採用し SW の X_c ポジションで較正しました。

SW の X_L ポジションについては、バランスがとれていれば、 $X_c = X_L$ ですから、そのままよいのですが、念のため手持ちの標準インダクタンスを挿入して、目盛がほぼ合致しているか確認しています。

較正後の目盛の様子を、参考までに第 4-14 図(c)に示します。

実際には使う VR_4 と VC_3 の特性によって変わってきますので、皆さんのがたはこの目盛そのままでは使えません。

目盛の読み方は、R ダイヤルはそのまま直読できますが、X ダイヤルのほうは周波数依存性があるため、較正周波数と使用周波数との比を係数として乗じて読み取ります。

このほか使用上の注意として、負荷インピーダンスが著しく変化した場合に大きな電力のまま使うと、過大入力によって破壊する危険があります。

OIB はアメリカでは市販されているそうですが、かなり高価なものと聞いています。

実際に使ってみて、とても便利な測定器と実感しています。

参考になる国内のアンテナ関連文献例

| | | |
|-----------------|------------|-----------|
| アマチュアのアンテナ設計 | 岡本次雄 | C Q 出版社 |
| アマチュアの衛星通信 | 日本 AMSAT 編 | C Q 出版社 |
| アマチュアの工作技術 | 角居洋司 | C Q 出版社 |
| アマチュアの八木アンテナ | 飯島徹 | C Q 出版社 |
| アンテナ工学ハンドブック | 電気通信学会編 | オーム社 |
| アンテナハンドブック | 吉村裕光, 角居洋司 | C Q 出版社 |
| キューピカル・クワッド | 鈴木 肇 | C Q 出版社 |
| グリッドディップメータの使い方 | 茨木悟 | C Q 出版社 |
| 電気工学ハンドブック | | 電気学会 |
| 電気実験 (電子編) | | 電気学会 |
| 電気物理・電気回路・電磁測定 | 大岡茂 | 無線従事者教育協会 |
| 電波伝搬ハンドブック | 和多田作一郎 | C Q 出版社 |
| 電波は危なくないか | 徳丸 仁 | 講談社 |
| トロイダルコア活用百科 | 山村英穂 | C Q 出版社 |
| ネットワークアナライザ入門 | 田代正二 | Y H P |